



Observed changes in the climate zones of Iran from mid 20th century onwards (1961-2022)

Marjan Shahsavani Ghareghouni¹, Reza Doostan² Iman Babaeian³

1- Department of Geography, Faculty of Literature and Humanities, Ferdowsi University of Mashhad, Iran
Email: marjan.shahsavanghareghoni@mail.um.ac.ir

2- (Corresponding Author) Department of Geography, Faculty of Literature and Humanities, Ferdowsi University of Mashhad, Iran
Email: doostan@um.ac.ir

3- Climate Modeling and Early Warning research group, Climate Research Institute, Research Center for Meteorology and Atmospheric Science, Mashhad, Iran
Email: i.babaeian@gmail.com

Article Info

Article type:
Research Article

Article History:

Received:
29 November 2023

Received in revised form:
25 February 2024

Accepted:
31 March 2024

Available online:
4 May 2024

Keywords:

Iran,
Climate change,
Climate Classification,
Aridity index.

ABSTRACT

This research evaluates the influence of climate change on precipitation, temperature, and evapotranspiration in Iran, a region with diverse climatic conditions, using UNEP and Demartonne climate classification systems to explore changes in Iran's climatic zones from the reference period (1961-1990) to the most recent normal period (1993-2022). The results show a decrease in the number of humid climate stations and an increase in semi-arid, dry, and desert stations under both classification methods. Mann-Kendall and Sen's slope analyses reveal significant decreases in precipitation, and increases in temperature and evapotranspiration in over 75% of the stations, with the highest annual precipitation decrease observed in Gorgan, and the highest temperature and evapotranspiration increases in Mashhad and Ahvaz, respectively. The findings suggest that Iran's climate is rapidly shifting towards drier conditions due to global warming, with approximately 13 stations having shifted to drier conditions and 29 stations experiencing increased aridity when comparing the two normal periods. These results align with previous studies, highlighting the urgent need to address the impacts of climate change in Iran and providing valuable insights for policymakers and stakeholders to develop effective strategies for climate change adaptation and mitigation in the region.

Cite this article: Shahsavani Ghareghouni, M., Doostan, R., & Babaeian, I. (2024). Observed changes in the climate zones of Iran from mid 20th century onwards (1961-2022). *Physical Geography Research Quarterly*, 56 (1), 123-138.

<http://doi.org/10.22059/JPHGR.2024.371399.1007805>



© The Author(s).

Publisher: University of Tehran Press

Extended abstract

Introduction

Climate change is one of the most significant challenges that affect various aspects of human life and the environment. It directly or indirectly impacts human activities and alters the composition of the atmosphere. Consequently, natural and recurring phenomena such as drought occur within specific time periods. Arid and semi-arid regions cover approximately 40% of the world, primarily situated in developing countries. Iran's climate exhibits significant variability in both time and location, with its annual rainfall coefficient experiencing more than a 70% change. Despite previous research on Iran's climate classification, few studies have comprehensively identified the shifts in Iran's climate zones. This research evaluates the influence of climate change on precipitation, temperature, and evapotranspiration. It also examines Iran's climatic classification based on the UNEP and Demartine climate classification systems. Furthermore, it investigates the changes in Iran's climatic zones during the recent normal period (1993-2022) compared to the standard reference period determined by the World Meteorological Organization (1961-1990).

Methodology

The research focuses on Iran, a region with diverse climatic conditions ranging from very dry to very humid. Temperature and precipitation data from 45 stations with various climates were collected on a monthly basis starting around 1961. The main aim of study is estimation of climatic zones for the periods of 1961-1990 (considered as the normal reference standard period by the World Meteorological Organization for Climate Change Studies) and the recent normal period of 1993-2022 using UNEP and Demartonne climate classification indices. Mann-Kendall's and Sen's slope tests were employed to assess the trend of changes and their slopes. Additionally, potential evapotranspiration was calculated based on the Torrent-White method.

Results and discussion

This research investigates the changes in precipitation, temperature, evapotranspiration, and shifts in the climatic classification of meteorological stations across the country since the mid-20th century using two classification methods of UNEP and Demartonne. The study covers 45 synoptic stations and examines different normal periods, including the reference normal period of 1961-1990 recognized by the World Meteorological Organization for climate change studies and the recent normal period of 1993-2022. Results from the UNEP climate classification for 1961-1990 estimate 9 stations with humid climate, 4 semi-humid stations, 12 semi-arid stations, 13 dry stations, and 4 desert stations. In contrast, for 1993-2022, there are 5 humid climate class stations, 1 semi-humid station, 19 semi-arid stations, 14 dry stations, and 6 desert stations. Comparing the two periods reveals approximately 13 stations have shifted to drier conditions and around 29 stations experiencing increased aridity. Demartonne's climate classification results for 1961-1990 show 7 hyper-arid stations, 12 dry desert stations, 13 semi-arid stations, and 6 Mediterranean climate stations. Additionally, one station is classified as humid and three as very humid. For the period of 1993-2022, there are 12 hyper-arid stations, 8 dry desert stations, 20 semi-arid stations, 2 humid stations, and 3 dry climate stations. Analysis of these periods indicates about 14 stations with tendency of its climate towards drier climates and 28 transitioning to increased aridity. Significance tests on changes and Sen's slope analysis for precipitation, temperature, and evapotranspiration reveal temperature and evapotranspiration increases in over 75% of the stations under study. Approximately one third of the stations has experienced a significant decrease in precipitation. The highest annual precipitation decrease is estimated for Gorgan station and Mashhad station shows the highest temperature increase, while Ahvaz station exhibits the highest evapotranspiration increase. The research findings suggest that Iran's climate is rapidly shifting towards drier conditions due to

global warming.

Conclusion

The research findings indicate significant changes in climatic classification of Iran based on the UNEP and Demartonne indices. According to the UNEP index, the number of stations with a humid climate decreased from 9 to 5 from the reference normal period of 1961-1990 to the most recent normal period of 1993-2022. Conversely, the number of semi-arid and dry stations increased from 25 to 33, and desert stations increased from 4 to 6, while the number of semi-humid stations decreased from 4 to 1. Regarding the Demartonne index, the number of stations with a semi-arid to hyper-arid climate increased from 32 to 40 during the reference normal period (1961-1990) up to the most recent normal period (1993-2022). Additionally, the number of stations with semi and very humid climates decreased from 10 to 5, and stations with a Mediterranean climate reduced. The Mann-Kendall statistics and Sens slope analysis revealed that precipitation decreased in 14 stations (31%), while temperature and evapotranspiration increased at a significant level of 0.05 in 35 stations (77.78%) and 34 stations (75.56%), respectively. These results align with previous studies by Rahimi et al. (2013), Ashraf et al. (2014), Tawusi et al. (2019), Tawusi et al. (2021), Fathi Tepe Rasht et al. (2022), and Ranjber and Tabatabai (2022), indicating a rapid shift towards drier climates in Iran due to global warming.

Funding

There is no funding support.

Authors' Contribution

All of the authors approved the content of the manuscript and agreed on all aspects of the work.

Conflict of Interest

Authors declared no conflict of interest.

Acknowledgments

We are grateful to all the scientific consultants of this paper.



دگرگونی نواحی اقلیمی ایران طی بیش از نیم قرن اخیر (۱۹۶۱-۲۰۲۲)

مرجان شاهسون قره‌غونی^۱, رضا دوستان^۲ ، ایمان بابائیان^۳۱- گروه جغرافیا، دانشکده ادبیات و علوم انسانی، دانشگاه فردوسی مشهد، ایران. رایانمه: marjan.shahsavangharegoni@mail.um.ac.ir۲- نویسنده مسئول، گروه جغرافیا، دانشکده ادبیات و علوم انسانی، دانشگاه فردوسی مشهد، ایران. رایانمه: doostan@um.ac.ir۳- گروه مدل‌سازی و پیش‌آگاهی اقلیمی، پژوهشکده اقلیم‌شناسی، پژوهشگاه هواشناسی و علوم جو، مشهد، ایران. رایانمه: i.babaeian@gmail.com

چکیده

اطلاعات مقاله

این پژوهش با هدف شناسایی تغییر احتمالی رخداده در طبقه اقلیمی ایستگاه‌های هواشناسی کشور انجام شد. دوره موردمطالعه به دو دوره نرمال مرجع (۱۹۶۱-۱۹۹۰) و نرمال اخیر (۲۰۲۲-۱۹۹۳) تقسیم شد. برای شناسایی طبقه اقلیمی ایستگاه‌ها از دو روش یونپ و دومارت استفاده شد. نتایج نشان دادند که بر اساس ساختار یونپ، تعداد ایستگاه‌های با اقلیم مرتبط از ۹ ایستگاه در دوره نرمال مرجع به ۵ ایستگاه در دوره نرمال اخیر کاهش یافته‌اند؛ در مقابل تعداد ایستگاه‌های نیمه‌خشک و خشک از ۲۵ به ۳۳ و ایستگاه‌های بیابانی از ۴ به ۶ افزایش یافته‌اند و تعداد ایستگاه‌های با اقلیم نیمه مرتبط از ۴ به ۱ کاهش یافته‌اند. بر اساس ساختار دومارت، تعداد ایستگاه‌های با اقلیم نیمه‌خشک تا فراخشک از ۳۲ ایستگاه در دوره نرمال مرجع به ۴۰ در دوره نرمال اخیر افزایش یافته است و در مقابل تعداد ایستگاه‌های با اقلیم خلی مرتبط تا مدیترانه‌ای از ۱۰ به ۵ ایستگاه کاهش یافته‌اند. همچنین در دوره ۱۹۶۱-۲۰۲۲ به ترتیب در ۷۸٪، ۳۱٪ و ۷۶٪ از ایستگاه‌ها کاهش بارش، افزایش دما و افزایش تبخیر تعرق در سطح معنادار بوده‌اند. نتایج این تحقیق می‌تواند در برنامه‌ریزی‌های افق بلندمدت، آمیش سرزمنی و لزوم سازگاری با تغییر اقلیم مورد توجه قرار گیرد.

نوع مقاله:

مقاله پژوهشی

تاریخ دریافت:

۱۴۰۲/۰۹/۰۸

تاریخ بازنگری:

۱۴۰۲/۱۲/۰۶

تاریخ پذیرش:

۱۴۰۳/۰۱/۱۲

تاریخ چاپ:

۱۴۰۳/۰۲/۱۵

واژگان کلیدی:

ایران،

تغییر اقلیمی،

روزنه،

شخص خشکی،

طبقه اقلیمی.

استناد: شاهسون قره‌غونی، مرجان و دوستان، رضا و ایمان بابائیان. (۱۴۰۳). دگرگونی نواحی اقلیمی ایران طی بیش از نیم قرن اخیر (۱۹۶۱-۲۰۲۲). مجله پژوهش‌های جغرافیای طبیعی، ۵۵(۴)، ۱۳۸-۱۲۳.

<http://doi.org/10.22059/JPHGR.2024.371399.1007805>



مقدمه

اقلیم شرایط هوای غالب یک منطقه در بلندمدت است. پژوهش‌های مختلف نشان می‌دهند که از نیمه قرن بیستم، همزمان با افزایش غلظت گازهای گلخانه‌ای بهویژه دی‌اکسید کربن به دلیل استفاده بیش از حد از سوختهای فسیلی و تغییر کاربری اراضی منجر به تغییر اقلیم در کره زمین شده است (IPCC, 2014: 207; Ebi et al, 2021: 294). تغییر اقلیم یکی از مهم‌ترین چالش‌هایی است که بر جنبه‌های مختلف زندگی انسان و محیط‌زیست در قرن حاضر تأثیر گذاشته و انتظار می‌رود در صورت عدم کاهش گازهای گلخانه‌ای در جو، این روند ادامه داشته باشد. الگوهای بزرگ مقیاس جو و اقیانوس از سازندگان اصلی اقلیم یک منطقه به شمار می‌روند. ایران با متوسط بارندگی سالانه تقریباً ۲۵۰ میلی‌متر به دلیل واقع شدن در کمربند فرون‌نشینی هوا در نیمکره شمالی دارای اقلیم غالباً به صورت خشک و نیمه‌خشک می‌باشد. مناطق خشک و نیمه‌خشک تقریباً ۴۰ درصد وسعت کره زمین را تشکیل می‌دهند که بیشتر در کشورهای در حال توسعه قرار دارند (اکبری، ۱۴۰۱: ۱؛ عیشی رضایی و همکاران، ۱۳۹۲: ۱۱۷۶؛ Bannayanetal, 2010: 105؛ Aydin, 1995: 101). اقلیم ایران، از نظر زمانی و مکانی، بسیار متغیر و ضریب تغییرات بارندگی‌های سالانه آن بیش از ۷۰ درصد است (Nazemosadat & Cordery, 2000: 67؛ Bannayanand & Sanjani, 2011: 1589). خشک‌سالی هر ساله بخش‌های قابل توجهی از کشور پهناور ایران را تحت تأثیر قرار داده و خسارات اقتصادی جبران ناپذیری را به همراه دارد، لذا شناسایی مناطق اقلیمی و ویژگی‌های آن‌ها در شرایط تغییر اقلیم می‌تواند به سیاست‌گذاران در تصمیم‌گیری در مورد برنامه‌ریزی مرتبط با اقلیم کمک کند (خلیلی و همکاران، ۱۴۰۰: ۱).

طبقه‌بندی اقلیمی از دیرباز مورد توجه اقلیم شناسان بوده و با استفاده از روش‌های گوناگون و بر اساس متغیرهای مهم اقلیمی مانند بارش و دما، اقلیم زمین را به مناطق اقلیمی گوناگون طبقه‌بندی می‌کردند. از جمله در مطالعه‌ای نشان داده شد از آنجاکه ایران عمدهاً در عرض‌های میانی قرار دارد، لذا وضعیت اقلیم خشک ذاتی همراه با بی‌نظمی بارندگی می‌تواند خطر خشک‌سالی را کشور افزایش دهد (Mansouri et al, 2019: 1). برخی تحقیقات انجام‌شده طبقه اقلیمی خشک‌تر را علاوه بر رویدادهای بارشی کمتر در فصل سرد را برای آینده ایران به عنوان بخشی از پیامدهای تغییر اقلیم برآورد کرده‌اند (غلام پور‌شمامی و همکاران، ۱۴۰۰: ۲۰۲۰؛ Abolverdi et al, 2014: 177؛ ۱۳۹۵: ۲۰۲۰). که با یافته‌های کوهی و همکاران (۱۴۰۱) مبنی بر کاهش تعداد روزهای همراه با بارش در ایران هماهنگ است. افزایش خطر خشک‌سالی و جابجایی طبقه اقلیمی ایران به اقلیم خشک‌تر می‌تواند در دوره‌های آتی امنیت آب و غذا را بهویژه برای ساکنان شهرهای پرجمعیت تهدید خواهد کرد. در مطالعه دیگری با استفاده از شاخص‌های مختلف خشکی، نتیجه‌گیری شد که اغلب پهنه‌های اقلیمی ایران، بهویژه اقلیم نیمه‌خشک تا خشک، در مقایسه با سایر پهنه‌های اقلیمی شرایط کم‌آبی شدیدتری را در دوره ۴۸ ساله ۱۳۷۸-۱۳۴۰ تجربه کرده‌اند (Ashraf et al., 2014: 35). نتایج بررسی تغییر شاخص خشکی یونپ در غرب و شمال غرب ایران در دوره (۱۹۸۱-۲۰۱۰) توسط طاووسی و همکاران (۱۳۹۹: ۱۷) حاکی از تغییر شرایط اقلیمی نیمه مرتبط به شرایط آب‌وهواست. خشک و از شرایط آب‌وهواست مرتبط به شرایط آب‌وهواست نیمه‌خشک بوده است. علاوه بر این، یافته‌های طاووسی و همکاران (۱۳۹۸: ۸۵) برای پهنه‌های اقلیمی شمال ایران طی دوره زمانی ۱۹۹۰-۲۰۱۷ حاکی از افزایش شرایط خشک در منطقه است. فتحی تپه رشت و همکاران (۱۴۰۰: ۳۷) با مطالعه بر روی ۱۵۳ ایستگاه سینوپتیک کشور در دوره زمانی ۱۳۷۴-۱۳۹۸ نتیجه گرفتند که روند افزایشی مساحت اقلیم‌های خشک و نیمه‌خشک همچنان ادامه دارد و اقلیم‌های خشک و نیمه‌خشک بیش از ۹۶٪ مساحت کل ایران را تشکیل می‌دهند. همچنین بر اساس مطالعه رنجبر و طباطبایی (۱۴۰۱:

۱۲)، در ایستگاه‌های نوار شمالی کشور در بازه زمانی ۱۹۸۲-۲۰۱۹ بارش روند کاهشی و دما و شاخص خشکی AI روند افزایشی داشته‌اند.

برخی مطالعات دیگر بر پیش‌نگری تغییرات احتمالی در طبقات اقلیمی مناطق مختلف ایران طبق سناریوهای مختلف انتشار و مدل‌های گردش کلی در دوره‌های آینده تمرکز کرده‌اند. از جمله، در بررسی تأثیر تغییر اقلیم جهانی بر شرایط اقلیمی ایران، مشخص شد که اقلیم ایران به‌سوی اقلیم گرم‌تر و خشک‌تر تغییر می‌کند. در حالی که هم‌اکنون آب‌وهای فوق سرد-خشک (A1.1 m²) بزرگ‌ترین پهنه اقلیمی کشور با ۲۱,۴٪ را در بر می‌گیرد، اما سناریوهای آینده A1B و A2 در دهه ۲۰۵۰ و ۲۰۸۰، آب‌وهای فوق العاده خشک-معتدل (A1.1m³) و فوق العاده خشک-گرم (A1.1m⁴) اقلیم غالب کشور خواهند بود و بیشترین مساحت کشور را به ترتیب حدود ۲۱ و ۳۸ درصد پوشش خواهند داد (Rahimi et al., 2013: 409). بختیاری و همکاران (۱۴۰۰: ۱)، شاخص خشکی^۱ AI را برای دوره آینده ۲۰۵۰-۲۰۲۰ با استفاده از برونداد مدل گردش عمومی^۲ CanESM طبق دو سناریوی^۳ RCP4.5 و RCP8.5 و مدل مقیاس کاهی^۴ SDSM برای ۵ نمونه اقلیمی ایران پیش‌نگری کردند. نتایج آن‌ها نشان از افزایش خشکی در اغلب ایستگاه‌های موردمطالعه بود. در همین ارتباط، ال‌هیویردی پور و همکاران (۱۴۰۲: ۱۰)، با به‌کارگیری برونداد مدل^۵ CanESM2 از سری مدل‌های CMIP5 و انجام مقیاس کاهی با مدل^۶ LARS-WG دریافتند که طبق دو سناریوی^۷ RCP2.6 و RCP8.5 قسمت اعظم ایران (۹۰/۴۹) درصد اقلیمی خشک و نیمه‌خشک دارد، به‌طوری‌که اقلیم خشک ۶۸/۸۲ درصد و اقلیم نیمه‌خشک ۲۱/۹۷ درصد آن را تشکیل می‌دهد.

در پژوهش حاضر به روند تغییرات بارش، تبخیر تعرق و جابجایی نواحی اقلیمی کشور ناشی از افزایش گرمایش جهانی بر اساس دو روش طبقه‌بندی اقلیمی یونپ و دمارتن پرداخته است. سؤال اصلی این پژوهش این است که آیا تغییری در طبقات اقلیمی ایستگاه‌های دارای آمار طولانی مدت کشور رخ داده است یا خیر؟ برای این منظور دوره آماری موردمطالعه به دو دوره نرمال اخیر (۱۹۹۳-۲۰۲۲) و دوره نرمال مرجع (۱۹۶۱-۱۹۹۰)، مشخص شده از سوی سازمان جهانی هواشناسی، تقسیم‌شده است و در هر یک از ایستگاه‌های هواشناسی، طبقه اقلیمی دوره نرمال اخیر با طبقه اقلیمی دوره نرمال مرجع مقایسه و تحلیل شده است.

روش پژوهش

برای انجام این مطالعه، داده‌های دما و بارش ۴۵ ایستگاه هواشناسی همدیدی کشور دارای آمار از حدود سال ۱۹۶۱ استفاده شد. برای برآورد طبقه اقلیمی بر مبنای شاخص خشکی در دوره‌های نرمال مرجع ۱۹۶۱-۱۹۹۰ (تعیین شده از سوی سازمان جهانی هواشناسی برای مطالعات تغییر اقلیم)، دوره نرمال اخیر ۱۹۹۳-۲۰۲۲ از دو شاخص یونپ و دومارتن استفاده شد. داده‌های ایستگاه‌های هواشناسی از سازمان هواشناسی کشور اخذ شدند. برای بررسی روند تغییرات و شیب آن‌ها از آزمون‌های من-کنдал و شیب سن استفاده شد. لازم به ذکر است تأسیس تعدادی از ایستگاه‌ها بعد از سال ۱۹۶۱ بوده است ولی به دلیل مرکزیت استان یا موقعیت جغرافیایی خاص به ایستگاه‌های موردمطالعه افزوده شدند.

1. Aridity Index

2. Canadian Earth System Model

3. Representative Concentration Pathway

4. Statistical Down Scaling Model

5. Coupled Model Intercomparison Project, Phase 5

6. Long Ashton Research Station Weather Generator

محاسبه تبخیر تعرق

در این مطالعه تبخیر تعرق پتانسیل بر اساس روش تورنت وایت طبق معادله (۱) محاسبه شد که در آن T دمای میانگین ماهانه و a ضریبی است که طبق رابطه (۲) محاسبه می‌شود (Thorntwaite, 1948: 55).

$$PET = 16 \left(\frac{10T}{I} \right)^a \quad \text{رابطه ۱}$$

$$a = (6.75 \times 10^{-7})I^3 - (7.71 \times 10^{-5})I^2 + (1.792 \times 10^{-2})I + 0.492 \quad \text{رابطه ۲}$$

شاخص حرارتی سالانه I با استفاده از رابطه (۳) محاسبه می‌شود. مجموع شاخص حرارتی ۱۲ ماه سال با به کارگیری معادله (۴) محاسبه می‌شود.

$$I = \sum_{k=1}^{12} I_m \quad \text{رابطه ۳}$$

$$I_m = \left(\frac{T}{5} \right)^{1.51} \quad \text{رابطه ۴}$$

طبقه‌بندی اقلیمی

برای طبقه‌بندی اقلیمی از دو روش یونپ طبق معادله (۵) و دمارتن طبق رابطه (۶) استفاده شد. در رابطه (۵) R شاخص خشکی، P مجموع بارش سالانه و ETP میانگین تبخیر تعرق پتانسیل بر حسب میلی‌متر هستند (طاوی و همکاران، ۱۳۹۹: ۲۱).

$$R = \frac{P}{ETP} \quad \text{رابطه ۵}$$

مطابق جدول ۱، طبقه (تیپ) اقلیمی هر ایستگاه بر اساس شاخص خشکی یونپ از فرا خشک تا مرطوب و بسیار مرطوب طبقه‌بندی می‌گردد.

جدول ۱. تیپ‌های اقلیمی مختلف بر اساس شاخص خشکی یونپ

تیپ اقلیمی	شاخص خشکی	وضیعت اقلیمی
فرا خشک	$R < 0.05$	بیابان واقعی
خشک	$0.05 < R < 0.2$	بیابان بسیار شدید
نیمه‌خشک	$0.2 < R < 0.5$	بیابان شدید
خشک نیمه مرطوب	$0.5 < R < 0.56$	بیابان متوسط
نیمه مرطوب	$0.56 < R < 0.75$	بیابان کم
مرطوب و بسیار مرطوب	$0.75 < R$	بیابان ندارد

منبع: (طاوی، ۱۳۹۷: ۸۹)

در روش دومارتن، طبقه‌بندی اقلیمی طبق معادله (۶) برآورد می‌شود که در آن P میانگین سالانه بارندگی (mm) و T میانگین سالانه دمای متوسط روزانه ($^{\circ}\text{C}$) است. طبقه‌های اقلیمی اصلی دمارتن (جدول ۲)، شامل اقلیم خشک (۰-۱۰)، نیمه‌خشک (۱۰-۲۰)، مدیترانه‌ای (۲۰-۲۴)، نیمه مرطوب (۲۴-۲۸)، مرطوب (۲۸-۳۵) و خیلی مرطوب (بیشتر از ۳۵) می‌باشد که طبقه اخیر خود به دو لایه خیلی مرطوب الف (۳۵-۵۰) و خیلی مرطوب ب (بیشتر از ۵۰) تقسیم می‌شود.

$$a = \frac{P}{T+10} \quad \text{رابطه ۶}$$

در طبقه‌بندی دمارتن مناطق خشک با شاخص کمتر از ده تعریف شده‌اند که با توجه به وسعت زیاد این اقلیم در ایران و همچنین در عرض‌های میانی و جنوب‌حراره‌ای، تفاوت آشکاری در توان و اکولوژی مناطق زیرپوشش این طبقه مشاهده می‌شود، به قسمی که در آن دست‌کم دو زیر اقلیم (شدیداً خشک و نسبتاً خشک) قابل تشخیص است. از این‌رو این طبقه به

دو طبقه فرا خشک (۰-۵) و خشک بیابانی (۱۰-۵) تفکیک شدند (خلیلی و همکاران، ۱۴۰۰: ۵).

جدول ۲. تیپ‌های اقلیمی مختلف بر اساس شاخص خشکی دمازن

شاخص خشکی	تیپ اقلیمی
۵-۰	فرا خشک
۱۰-۵	خشک بیابانی
۱۹,۹-۱۰	نیمه خشک
۲۳,۹-۲۰	مدیترانه‌ای
۲۷,۹-۲۴	نیمه مرطوب
۳۴,۹-۲۸	مرطوب
۳۵≥	بسیار مرطوب

منبع: (خلیلی و همکاران، ۱۴۰۰: ۵)

آزمون روند من-کندال و شیب سن

برای بررسی وجود روند از آماره من-کندال (Kendall, 1975: 375; Mann, 1945: 245) استفاده شد که یک آزمون ناپارامتری برای داده‌های با توزیع نامشخص است. در آزمون من-کندال فرض صفر تصادفی بودن داده‌ها و عدم وجود روند در آن‌ها است و فرض یک (رد فرض صفر) وجود روند در سری داده‌ها می‌باشد. برای بررسی شیب روند در سری زمانی داده‌هایی که توزیع آن‌ها نرمال نیست یا ناشناخته است، از روش ناپارامتری سنس S`Sen (Theil, 1950: 1397; Sen, 1968: 1401) مراجعه شود.

محدوده موردمطالعه

ایران دارای شرایط اقلیمی متنوع از فراخشک تا خلیلی مرطوب است. جهتمندی کوه‌های اصلی ایران (کوه‌های البرز در شمال و رشته‌های زاگرس در غرب و جنوب)، هم‌جواری با بیابان‌های گرم و خشک شبه‌جزیره عربی و دوری آن از اقیانوس‌ها از مهم‌ترین دلایل اقلیم‌های مختلف ایران است. بیشترین میزان بارندگی سالانه در نواحی ساحلی دریای خزر (تا بیش از ۲۰۰۰ م.م.) و همچنین نواحی شمالی و شمال غربی کشور و کمترین بارش سالانه در نواحی جنوبی و شرقی کشور و نواحی بیابانی مرکزی (تا کمتر از ۱۰۰ م.م.) رخ می‌دهد (بختیاری و همکاران، ۱۴۰۰: ۳).

یافته‌ها

روند و شیب بارش، دما و تبخیر-تعرق

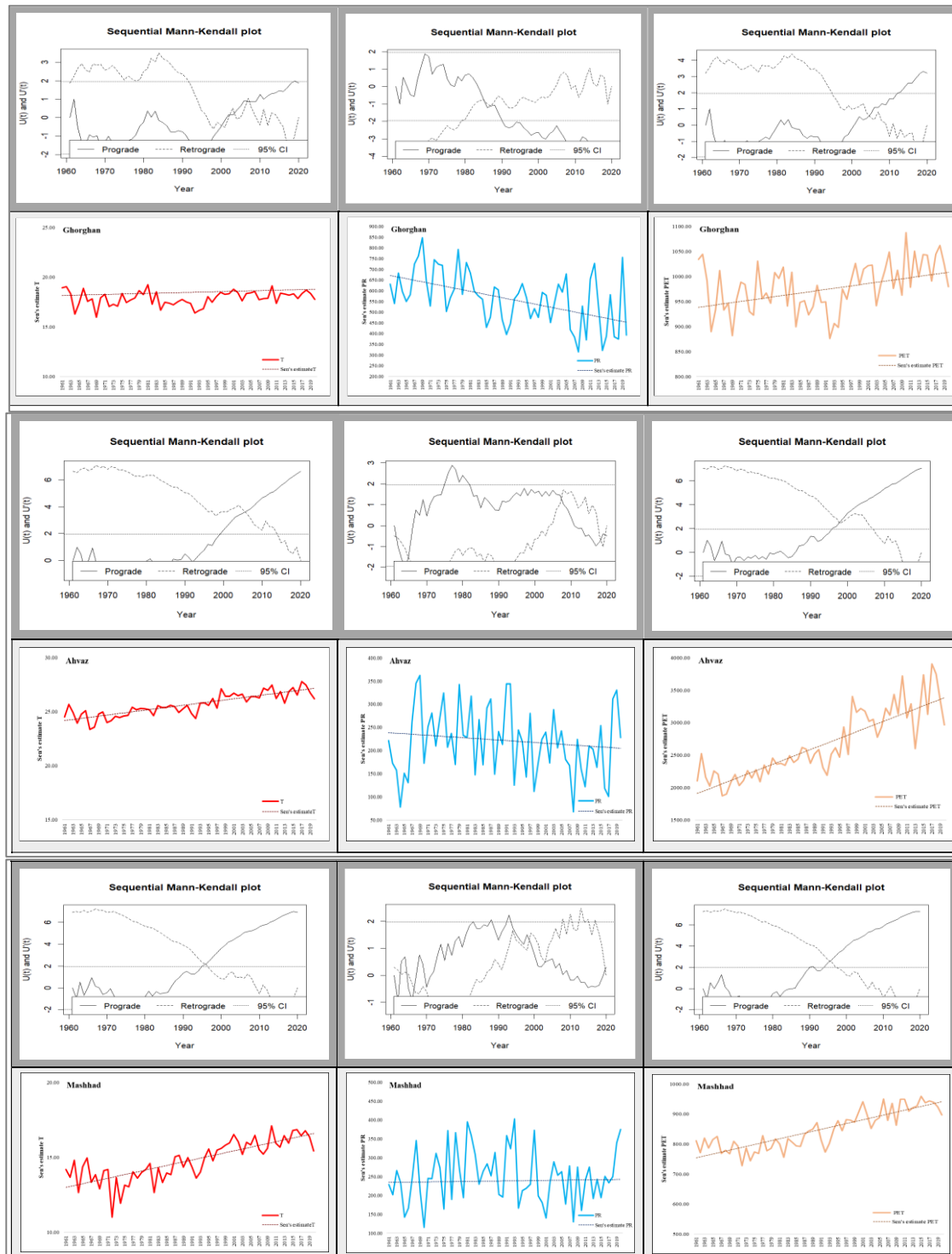
در جدول ۳ نتایج آزمون معنی‌داری تغییرات و شیب سن هر یک از ایستگاه‌های موردمطالعه برای بارش، دما و تبخیر تعرق آورده شده است. در ۱۴ ایستگاه‌ها (۳۱٪) کاهش بارش، در ۳۵ (۷۷,۸٪) ایستگاه افزایش دما و در ۳۴ ایستگاه (۷۵,۶٪) افزایش تبخیر تعرق معنادار است. در بین ایستگاه‌های موردمطالعه در ۸ ایستگاه ارومیه، اردبیل، ایلام، کرمان، کرمانشاه، سنندج، شهرکرد، تبریز تغییرات در هر سه متغیر در سطح ۰,۰۵ مغنادار (کاهش بارش، افزایش دما و تبخیر تعرق) است. به جز ایستگاه کرمان، بقیه ایستگاه‌های فوق در غرب کشور واقع شده‌اند که نشان از تأثیر پذیری بیشتر ایستگاه‌های واقع در غرب کشور از گرمایش جهانی است. همدان و سمنان تنها ایستگاه‌هایی هستند که تغییرات در هر سه متغیرهای موردنظری معنادار نیستند. بر اساس شیب سن، بیشترین شیب کاهش بارش سالانه در ایستگاه‌های گرگان و بیرجند به ترتیب با -۳,۶۹۷ و -۳,۲۰۸ م.م. بر سال، بیشترین افزایش دما در ایستگاه‌های مشهد و یزد به ترتیب با ۰,۷۲۹ و ۰,۶۲۶.

درجه سلسیوس بر سال و بیشترین افزایش تبخیر تعرق در ایستگاه‌های اهواز و آبادان به ترتیب با ۲۵,۸۸۳ و ۲۵,۸۸۲ م.م. بر سال رخداده است. صرف‌نظر از معناداری تغییرات، روندهای دما و تبخیر تعرق در تمامی ایستگاه‌ها مثبت و در مورد بارش منفی است. سال آغاز تغییرات در سه متغیر فوق در بازه زمانی ۱۹۸۰ تا ۱۹۸۲ بوده است. دیرترین زمان نقطه شروع تغییر در بازه زمانی ۲۰۰۹ تا ۲۰۱۰ رخداده است. در شکل ۱، سال تغییر و شبیه سن ایستگاه‌های اهواز، گرگان، مشهد به عنوان نمونه آورده شده است. همان‌طور که مشاهده می‌شود بیشترین شبیه تغییرات مربوط به متغیر تبخیر تعرق است که اغلب کاهش هم‌زمان بارش و افزایش دما موجب شبیه زیاد افزایش تبخیر تعرق در مقایسه با شبیه بارش یا دما به صورت منفرد شده است.

جدول ۳. نتایج آزمون من کندال و شبیه سن و نقطه سال تغییر ایستگاه‌ها

نام ایستگاه	سطح معناداری						سال تغییر	شبیه سن		
	بارش	دما	بارش	دما	تغییر تعرق	بارش		بارش	دما	تغییر تعرق
آبادان	-	۰.۰۵	۰.۰۵	-۰.۳۳۱	۰.۰۵	۰.۷۷۷	۲۰۰۷	۲۵.۸۸۲	۰.۰۵۱	۰.۷۷۷
اراک	-	۰.۰۵	۰.۰۵	-۰.۱۱۲	۰.۰۵	۰.۷۷۷	۲۰۰۸	۰.۷۷۷	۰.۰۱۶	۰.۷۷۷
اردبیل	۰.۰۵	۰.۰۵	۰.۰۵	-۰.۰۰۰۳	۰.۰۵	۰.۰۶۷	۱۹۸۵	۰.۰۶۷	۰.۰۲۵	۰.۰۶۷
ارومیه	۰.۰۵	۰.۰۵	۰.۰۵	-۰.۶۷۹	۰.۰۵	۱.۹۰۴	۱۹۸۵	۱.۹۰۴	۰.۲۸۳	۰.۲۸۳
اصفهان	-	۰.۰۵	۰.۰۵	-۰.۰۸۶	۰.۰۵	۱.۷۲۷	۱۹۹۵	۱.۷۲۷	۰.۳۳۰	۰.۳۳۰
اهواز	-	۰.۰۵	۰.۰۵	-۰.۵۷۰	۰.۰۵	۲۵.۸۸۳	۲۰۱۰	۲۵.۸۸۳	۰.۶۰۵	۰.۶۰۵
ایلام	۰.۰۵	۰.۰۵	۰.۰۵	-۲.۰۲۴	۰.۰۵	۳.۵۹۶	۱۹۹۵	۳.۵۹۶	۰.۰۹۹	۰.۰۹۹
بابلسر	-	۰.۰۵	۰.۰۵	-۱.۶۳۸	۰.۰۵	۲.۱۲	۲۰۰۵	۱۹۹۰	۰.۰۳۵	۰.۰۳۵
بنجورد	-	۰.۰۵	۰.۰۵	-۱.۳۱۱	۰.۰۵	۱.۰۱۳	۱۹۸۵	۱۹۹۰	۰.۲۸۴	۱.۰۱۳
به	-	۰.۰۵	۰.۰۵	-۰.۱۶۰	۰.۰۵	۱۲.۵۰۹	۱۹۹۸	۱۹۹۸	۰.۵۸۶	۰.۵۸۶
بندر انزلی	-	۰.۰۵	۰.۰۵	-۱.۳۰۶	۰.۰۵	۱.۴۴۱	۱۹۸۹	۱۹۹۰	۰.۳۳۲	۱.۴۴۱
بندر عباس	-	-	۰.۰۵	-۰.۰۷۷	۰.۰۵	۳.۵۹۶	۲۰۰۲	۲۰۰۸	۰.۰۶۹	۳.۵۹۶
بوشهر	-	۰.۰۵	۰.۰۵	-۰.۱۵۹	۰.۰۵	۱۰.۹۰۷	۱۹۹۵	۱۹۹۵	۰.۴۲۹	۱۰.۹۰۷
بیرون	۰.۰۵	-	-	-۳.۲۰۸	-	۰.۲۹۷	۱۹۹۰	۲۰۰۵	۰.۶۰۵	۰.۲۹۷
تبریز	۰.۰۵	۰.۰۵	۰.۰۵	-۱.۲۵۶	۰.۰۵	۱.۶۳۰	۱۹۸۵	۱۹۸۵	۰.۴۵۶	۱.۶۳۰
تربت حیدریه	-	۰.۰۵	۰.۰۵	-۰.۴۱۳	۰.۰۵	۰.۵۲۲	۲۰۰۲	۲۰۰۷	۰.۱۱۱	۰.۱۱۱
تهران	-	۰.۰۵	۰.۰۵	-۰.۳۹۰	۰.۰۵	۳.۰۸۹	۱۹۸۹	۱۹۹۰	۰.۴۹۷	۳.۰۸۹
جزیره ابوموسی	۰.۰۵	۰.۰۵	۰.۰۵	-۰.۰۵۸	-	۵.۹۴۵	۲۰۰۲	۱۹۹۰	۰.۰۳۸	۵.۹۴۵
خرم‌آباد	۰.۰۵	-	۰.۰۵	-۲.۰۵۴	-	۰.۱۱۷	۱۹۹۵	۲۰۱۰	۰.۰۸۴	۰.۱۱۷
خوی	-	۰.۰۵	۰.۰۵	-۱.۲۵	-	۲.۰۹۰	۱۹۸۵	۱۹۹۲	۰.۵۶۷	۲.۰۹۰
رامسر	-	۰.۰۵	۰.۰۵	-۱.۱۱۸	۰.۰۵	۱.۸۶۲	۲۰۰۰	۱۹۹۰	۰.۴۰۷	۱.۸۶۲
رشت	-	۰.۰۵	۰.۰۵	-۲.۶۹۷	۰.۰۵	۱.۹۸۸	۱۹۹۰	۱۹۸۵	۰.۱۳۶	۱.۹۸۸
زاابل	-	۰.۰۵	۰.۰۵	-۰.۲۵۹	۰.۰۵	۷.۱۵۸	۱۹۹۶	۱۹۹۵	۰.۳۶۸	۷.۱۵۸
Zahedan	-	-	-	-۰.۲۶۹	-	۸.۱۶۴	۱۹۸۵	۱۹۹۰	۰.۴۶۹	۸.۱۶۴
زنجان	-	۰.۰۵	۰.۰۵	-۰.۵۶۴	۰.۰۵	۰.۶۸۰	۱۹۸۵	۲۰۰۰	۰.۳۳۰	۰.۶۸۰
ساری	-	۰.۰۵	۰.۰۵	-۲.۶۱۷	۰.۰۵	۱.۹۹۸	۲۰۰۰	۱۹۹۰	۰.۲۳۶	۱.۹۹۸
سیزوار	-	۰.۰۵	۰.۰۵	-۰.۰۸۳	۰.۰۵	۳.۶۰۵	۱۹۹۵	۱۹۸۲	۰.۰۴۵	۳.۶۰۵
سنندج	۰.۰۵	۰.۰۵	۰.۰۵	-۲.۴۴۱	۰.۰۵	۱.۹۴۳	۱۹۹۵	۲۰۰۳	۰.۵۲۲	۱.۹۴۳
سفر	۰.۰۵	-	۰.۰۵	-۰.۳۴۸	۰.۰۵	۰.۷۲۳	۱۹۹۰	۱۹۹۲	۰.۲۵۸	۰.۷۲۳
سمنان	-	-	-	-۰.۰۲۰	-	۱.۷۰۹	۱۹۸۵	۱۹۸۵	۰.۵۱۱	۱.۷۰۹
شاہرود	-	۰.۰۵	۰.۰۵	-۰.۰۱۶	۰.۰۵	۱.۹۰۹	۱۹۹۵	۱۹۸۹	۰.۴۱۱	۱.۹۰۹
شهرکرد	۰.۰۵	۰.۰۵	۰.۰۵	-۱.۶۶۹	۰.۰۵	۰.۸۹۴	۱۹۸۲	۱۹۸۲	۰.۱۹۸	۰.۸۹۴
شیراز	-	۰.۰۵	۰.۰۵	-۰.۲۳۹	۰.۰۵	۲.۶۱۹	۲۰۰۵	۱۹۸۹	۰.۴۲۹	۲.۶۱۹
طبس	-	۰.۰۵	۰.۰۵	-۰.۰۹۸	۰.۰۵	۳.۳۴۲	۱۹۸۲	۱۹۹۲	۰.۶۰۳	۳.۳۴۲
قوروین	-	۰.۰۵	۰.۰۵	-۰.۳۴۸	۰.۰۵	۰.۷۲۳	۱۹۹۵	۲۰۰۰	۰.۲۵۸	۰.۷۲۳
قم	-	۰.۰۵	۰.۰۵	-۰.۶۷۸	۰.۰۵	۰.۸۴۵	۲۰۰۰	۱۹۸۵	۰.۱۵۳	۰.۸۴۵
کرج	-	-	-	-۰.۳۹۰	-	۰.۹۹۲	۲۰۰۹	۱۹۸۹	۰.۵۹۷	۰.۹۹۲
کرمان	۰.۰۵	۰.۰۵	۰.۰۵	-۰.۶۹۴	۰.۰۵	۱.۸۱۸	۱۹۹۵	۱۹۹۲	۰.۴۸۱	۱.۸۱۸

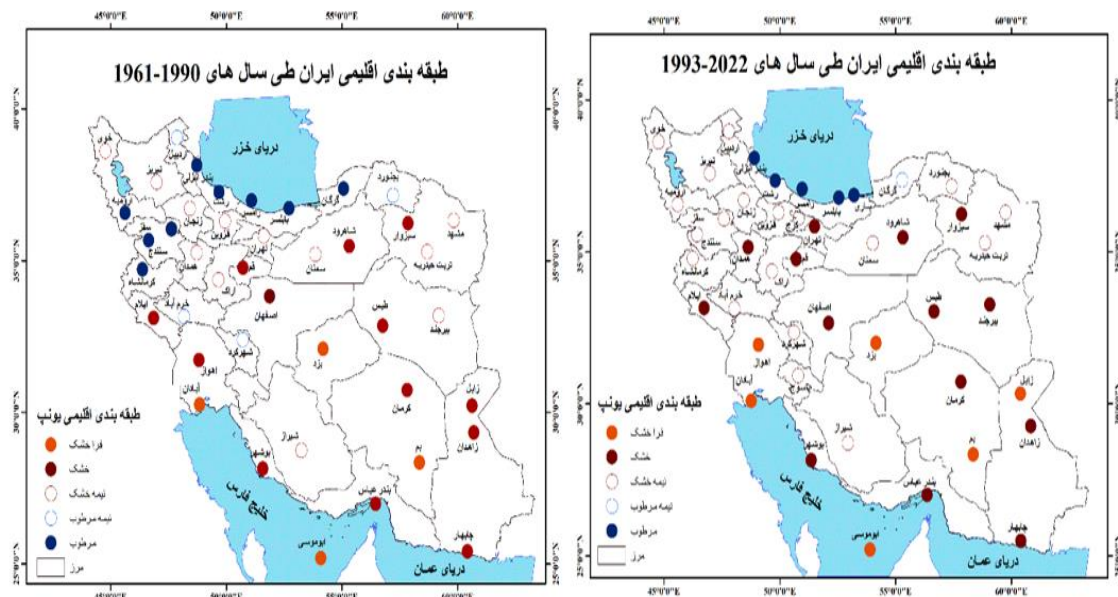
1997	1995	1995	1.941	0.554	-1.984	0.05	0.05	0.05	کرمانشاه
1990	1995	1990	1.188	0.126	-3.697	0.05	0.05	-	گرگان
1995	1992	1999	3.167	0.729	-0.132	0.05	0.05	-	مشهد
1985	1986	1985	1.635	0.453	-0.013	-	-	-	همدان
1982	1982	1982	1.923	0.542	-2.421	-	-	0.05	پاسوج
2000	1995	2002	4.380	0.626	-0.071	0.05	0.05	-	بزد
2002	2000	1980	1.141	0.173	-0.805	-	0.05	-	چاهار



شکل ۱. نمودار من-کندال و شبیه سن برای تغییر تعریق (راست)، بارش (وسط) و دما (چپ) در ۳ ایستگاه نمونه به ترتیب از بالا به پایین گرگان، اهواز و مشهد.

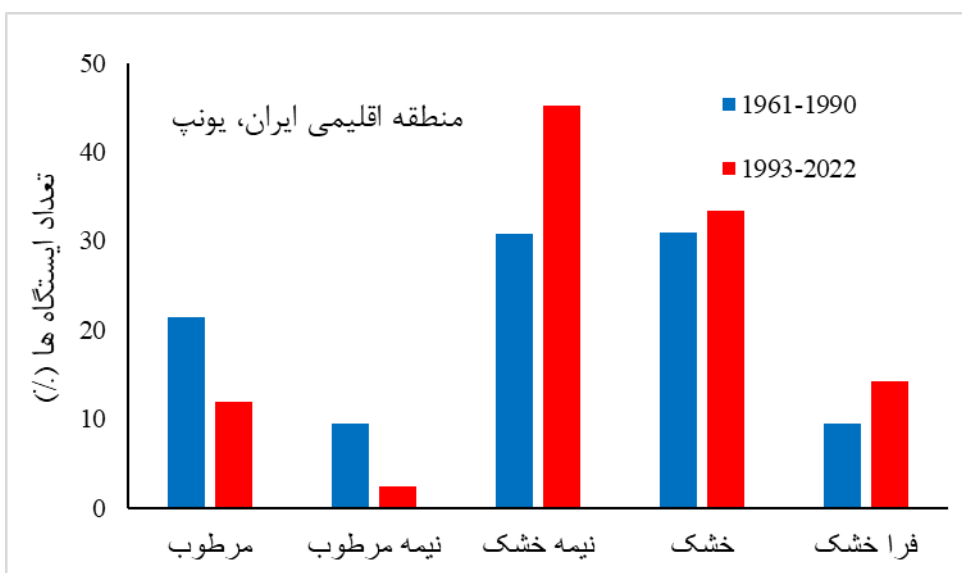
جابجایی طبقات اقلیمی روش یونپ

در شکل ۲ نتایج حاصل از طبقه‌بندی اقلیمی به روش یونپ برای دوره‌های نرمال مرجع (۱۹۶۱-۱۹۹۰) و نرمال اخیر (۲۰۲۲-۱۹۹۳)، برای ۴۵ ایستگاه آورده شده است. در دوره نرمال مرجع ۴ ایستگاه به صورت اقلیم فراخشک-بیابانی (آبادان، ابوموسی، بم، یزد)، ۱۳ ایستگاه خشک (سبزوار، طبس، زابل، زاهدان، چابهار، کرمان، شاهروود، بندرعباس، بوشهر، اصفهان، اهواز، قم، ایلام)، ۱۲ ایستگاه نیمه‌خشک (مشهد، تربت‌حیدریه، بیرون‌جند، سمنان، شیراز، تهران، اراک، همدان، قزوین، زنجان، تبریز، خوی)، ۴ ایستگاه نیمه مرطوب (جنورد، شهرکرد، خرم‌آباد، اردبیل) و ۹ ایستگاه مرطوب (گرگان، بابلسر، رامسر، رشت، بندر انزلی، ارومیه، سقز، سنتنچ، کرمانشاه) طبقه‌بندی شدند. در دوره نرمال اخیر ۶ ایستگاه به صورت اقلیم فراخشک-بیابانی (اهواز، آبادان، یزد، زابل، بم، ابوموسی)، ۱۴ ایستگاه خشک (سبزوار، طبس، بیرون‌جند، کرمان، زاهدان، چابهار، ابوموسی، شاهروود، بوشهر، اصفهان، تهران، قم، همدان، ایلام)، ۱۹ ایستگاه نیمه‌خشک (جنورد، مشهد، تربت‌حیدریه، شیراز، سمنان، یاسوج، شهرکرد، اراک، خرم‌آباد، کرمانشاه، سقز، اردبیل، خوی، کرج، قزوین، زنجان، سنتنچ، ارومیه، تبریز)، ۱ ایستگاه نیمه مرطوب (گرگان) و ۵ ایستگاه مرطوب (ساری، بابلسر، رامسر، رشت، بندر انزلی) تعیین شدند.



شکل ۲. نواحی اقلیمی ایستگاه‌های مورد مطالعه بر مبنای شاخص یونپ. چپ: دوره نرمال مرجع (۱۹۶۱-۱۹۹۰)، راست: دوره نرمال اخیر (۱۹۹۳-۲۰۲۲)

در شکل ۳ تعداد ایستگاه‌های متعلق به طبقات اقلیمی مختلف بر اساس شاخص یونپ در دوره نرمال مرجع و نرمال اخیر آورده شده است. شکل نشان می‌دهد که در مجموع سهم ایستگاه‌های دارای اقلیم نیمه مرطوب تا مرطوب از کل ایستگاه‌های کشور در دوره مرجع ۳۱ درصد بوده است که دوره نرمال اخیر به ۲۰ درصد کاهش یافته است. همچنین سهم ایستگاه‌های با اقلیم نیمه‌خشک تا فراخشک در دوره مرجع ۶۹,۰۴ درصد بوده است که در دهه اخیر به ۸۶ درصد افزایش یافته است. به عبارت دیگر در دوره نرمال اخیر نزدیک به ۱۰ درصد از ایستگاه‌های با اقلیم نیمه مرطوب تا مرطوب به اقلیم نیمه‌خشک تا فراخشک جابجا شده‌اند. در بین ایستگاه‌های مورد مطالعه مهم‌ترین تغییر در اقلیم ایستگاه ارومیه رخداده است که از اقلیم مرطوب به نیمه‌خشک تغییر یافته است.

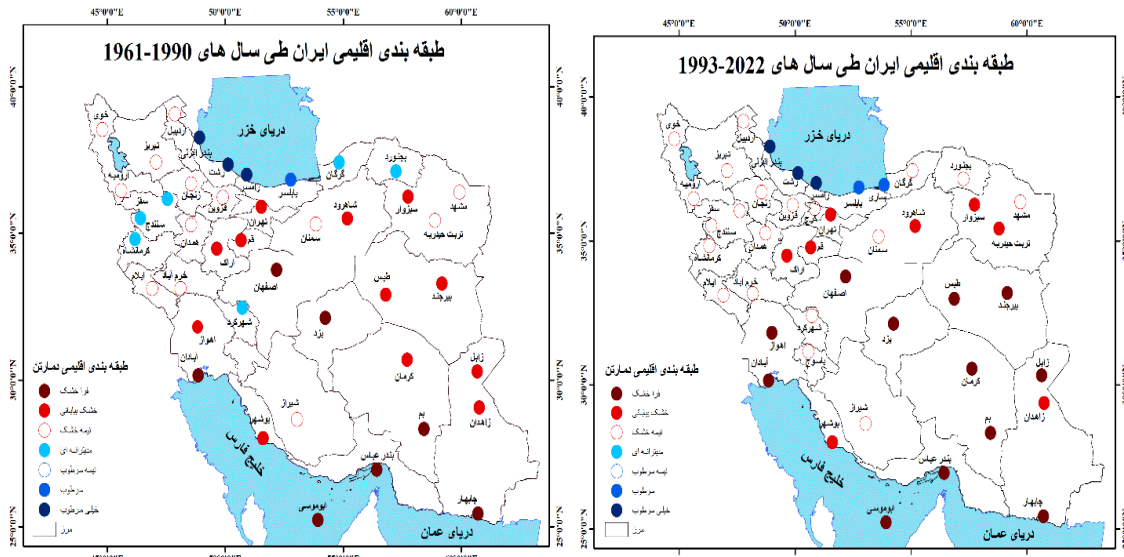


شکل ۳. تعداد (درصد) ایستگاه‌های با نواحی اقلیمی مختلف در دوره نرمال اخیر (۱۹۶۱-۱۹۹۰) و دوره نرمال اخیر (۱۹۹۳-۲۰۲۲) بر مبنای شاخص یونپ

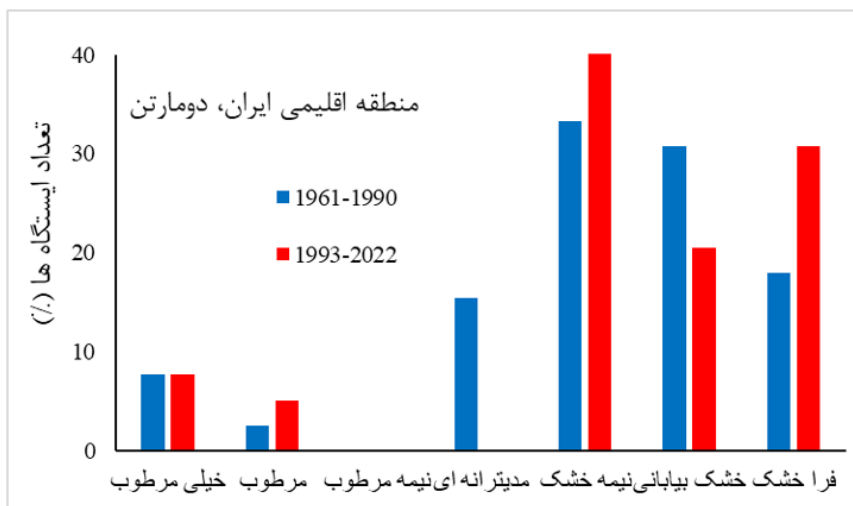
روش دومارتن

در این بخش نتایج حاصل از طبقه‌بندی اقلیمی به روش دومارتن آورده شده است. مطابق شکل ۴ در دوره نرمال مرجع اقلیم ۷ ایستگاه اصفهان، یزد، آبادان، بم، چابهار، بندرعباس، ابوموسی در حالت فراخشک، ۱۲ ایستگاه سبزوار، بیرجند، طبس، کرمان، زابل، زاهدان، شاهروド، بوشهر، اهواز، اراک، قم، تهران در حالت خشک بیابانی، ۱۳ ایستگاه مشهد، تربت‌حیدریه، شیراز، سمنان، خرم‌آباد، ایلام، همدان، قزوین، زنجان، تبریز، ارومیه، اردبیل، خوی در حالت نیمه‌خشک، ۶ ایستگاه بجنورد، گرگان، شهرکرد، خرم‌آباد، سنتنج، سقز در حالت مدیترانه‌ای، ایستگاه بابلسر در حالت مرطوب و سه ایستگاه رامسر، رشت، بندر انزلی در حالت خیلی مرطوب قرار گرفته‌اند. در دوره نرمال اخیر طبقه‌بندی اقلیمی ایستگاه‌های کشور به گونه‌ای است که ۱۲ ایستگاه طبس، بیرجند، زابل، چابهار، بم، کرمان، بندرعباس، ابوموسی، یزد، اصفهان، اهواز، آبادان در حالت فرا خشک، ۸ ایستگاه سبزوار، تربت‌حیدریه، زاهدان، شاهروド، بوشهر، تهران، قم، اراک در حالت بیابانی، ۲۰ ایستگاه گرگان، بجنورد، مشهد، سمنان، شیراز، شهرکرد، یاسوج، کرج، خرم‌آباد، ایلام، همدان، سنتنج، کرمانشاه، سقز، ارومیه، خوی، تبریز، اردبیل، قزوین، زنجان در حالت نیمه‌خشک، ایستگاه ساری، بابلسر در حالت مرطوب و ۳ ایستگاه رامسر، رشت، بندر انزلی در حالت خیلی مرطوب قرار دارند.

در شکل ۵ تعداد ایستگاه‌های متعلق به طبقات اقلیمی مختلف بر اساس شاخص دمارتن در دوره نرمال مرجع و نرمال اخیر آورده شده است. شکل نشان می‌دهد که در مجموع سهم ایستگاه‌های دارای اقلیم مدیترانه‌ای تا فوق مرطوب از کل ایستگاه‌های کشور در دوره مرجع ۲۳,۸۰ درصد بوده است، در حالی که در دوره نرمال اخیر به ۱۱,۱۲ کاهش یافته است. همچنین سهم ایستگاه‌های با اقلیم نیمه‌خشک تا فراخشک در دوره مرجع ۷۶,۱۹ درصد بوده است که در دوره نرمال اخیر به ۸۸,۸۹ درصد افزایش یافته است. مطابق نتایج، ایستگاه‌های با اقلیم مدیترانه‌ای به کلی حذف و به تعداد ایستگاه‌های فراخشک ۱۳ درصد افزوده شده است.



شکل ۴. نواحی اقلیمی ایستگاه‌های مورد مطالعه بر مبنای شاخص دمازن. چپ: دوره نرمال مرجع (۱۹۶۱-۱۹۹۰)، راست: دوره نرمال اخیر (۱۹۹۳-۲۰۲۲)

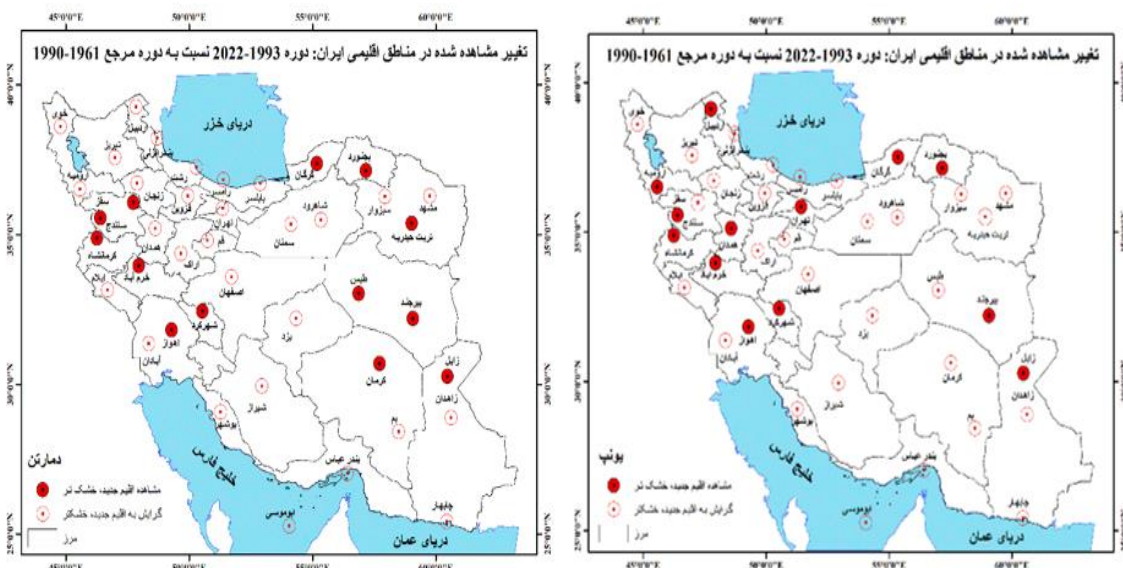


شکل ۵. تعداد (درصد) ایستگاه‌های با نواحی اقلیمی مختلف در دوره نرمال مرجع (۱۹۶۱-۱۹۹۰) و دوره نرمال اخیر (۱۹۹۳-۲۰۲۲) بر مبنای شاخص دمازن

تغییرات رخداده در نواحی اقلیمی

نتایج حاصل از مقایسه طبقه‌بندی اقلیمی کشور در دوره نرمال اخیر ۱۹۹۳-۲۰۲۲ با دوره نرمال مرجع ۱۹۶۱-۱۹۹۰ و تغییرات رخداده طبق دو روش یونپ و دمازن در شکل ۶ نشان داده شده است. مطابق روش یونپ اقلیم ۲۸,۸ درصد (۱۳ ایستگاه) از ایستگاه‌ها شامل گرگان، بجنورد، بیرجند، زابل، شهرکرد، اهواز، تهران، همدان، خرم‌آباد، کرمانشاه، سنندج، اردبیل، ارومیه به طبقه اقلیمی خشک‌تر تغییر یافته است. تعداد ایستگاه‌هایی که ناحیه اقلیمی آن‌ها تغییر کرده است معادل ۳۱ درصد کل ایستگاه‌های مورد مطالعه است. در تمامی ایستگاه‌های باقیمانده شاخص یونپ روند جابجایی به‌سوی اقلیم خشک‌تر را نشان می‌دهد که در صورت تداوم افزایش دما یا کاهش بارش در دهه‌های آتی احتمال تغییر ناحیه اقلیمی آن‌ها به اقلیم خشک‌تر وجود دارد. اما بر اساس شاخص دمازن اقلیم ۳۱,۱ درصد از ایستگاه‌ها (۱۴ ایستگاه) به شرایط خشک‌تر تغییر یافته است که عبارت‌اند از: بجنورد، تربت‌حیدریه، گرگان، طبس، بیرجند، کرمان، زابل، قم، شهرکرد، اهواز، زنجان،

خرم‌آباد، سقز، کرمانشاه. ایستگاه‌هایی که اقلیم آن‌ها بر اساس شاخص دومارتن تغییر یافته‌اند معادل درصد کل ایستگاه‌های موردمطالعه است. با این حال در تمام ایستگاه‌های باقیمانده روندی بهسوی اقلیم خشک‌تر دیده می‌شود.



شکل ۶. تغییرات رخداده در نواحی اقلیمی ایران در دوره نرمال اخیر (۱۹۹۳-۲۰۲۲) نسبت به دوره نرمال اخیر (۱۹۹۰-۱۹۶۱). راست: روش یونپ و چپ: روش دومارتن

نتایج شاخص یونپ نشان داد که تعداد ایستگاه‌های با اقلیم مرطوب از ۹ ایستگاه در دوره نرمال مرجع به ۵ ایستگاه در دوره نرمال اخیر کاهش یافته‌اند و در مقابل تعداد ایستگاه‌های نیمه‌خشک و خشک از ۲۵ به ۳۳ و ایستگاه‌های با اقلیم بیانی از ۴ به ۶ افزایش یافته‌اند و تعداد ایستگاه‌های با اقلیم نیمه مرطوب از ۴ به ۱ کاهش یافته‌اند. نتایج شاخص دومارتن نشان داد که تعداد ایستگاه‌های با اقلیم نیمه‌خشک تا فراخشک از ۳۲ در دوره نرمال مرجع ۱۹۹۰-۱۹۶۱ به ۴۰ در دوره نرمال اخیر (۱۹۹۳-۲۰۲۲) افزایش یافته است و در مقابل تعداد ایستگاه‌های با اقلیم خیلی مرطوب تا مدیترانه‌ای از ۱۰ به ۵ ایستگاه کاهش یافته‌اند. علاوه بر این نتایج آزمون من-کنдал و شبیب سن نتایج نشان دادند که در ۱۴ ایستگاه (۳۱٪) ایستگاه کاهش یافته‌اند. ایستگاه افزایش دما و در ۳۴ ایستگاه (۷۵٪) افزایش تبخیر تعرق در سطح ۰,۰۵ معنadar است.

بحث

مطالعات متعدد از جمله طاووسی و همکاران (۱۳۹۹: ۸۵)، طاووسی و همکاران (۱۳۹۸: ۱۷)، فتحی تپه رشت و همکاران (۱۴۰۰: ۳۷) و رنجبر و طباطبایی (۱۴۰۱: ۱۲)، (Rahimi et al., 2013: 409)، (Ashraf et al., 2014: 35)، نشان می‌دهند که نواحی اقلیمی ایران به تبعیت از تغییرات رخداده در متغیرهای تأثیرگذار مانند بارش و دما در طی حدود بیش از نیم قرن دچار تغییر شده‌اند. نتایج حاصل از این پژوهش همسو با یافته‌های فوق بوده و نشان می‌دهد که اقلیم ایران در شرایط گرمایش جهانی به سرعت در حال گذر به طبقات خشک‌تر است.

نتیجه‌گیری

در این پژوهش تغییرات رخداده در طبقات اقلیمی ایستگاه‌های هواشناسی کشور بر اساس دو روش یونپ و دومارتون و همچنین متغیرهای بارش، دما و تبخیر تعرق از نیمه قرن بیستم تاکنون برای ۴۵ ایستگاه مورد بررسی قرار گرفته است. مطالعه در دو دوره نرمال غیر همپوشان شامل دوره نرمال مرجع تعیین شده از سوی سازمان جهانی هواشناسی برای مطالعات تغییر اقلیم (۱۹۶۱-۱۹۹۰) و دوره نرمال اخیر (۱۹۹۳-۲۰۲۲) انجام گرفت.

بر اساس شاخص یونپ در دوره نرمال مرجع، ۹ ایستگاه دارای اقلیم مرطوب، ۴ ایستگاه نیمه مرطوب، ۱۲ ایستگاه نیمه خشک، ۱۳ ایستگاه خشک و ۴ ایستگاه بیابانی قرار دارند. درحالی که در دوره نرمال اخیر، ۵ ایستگاه در اقلیم مرطوب، ۱ ایستگاه نیمه مرطوب، ۱۹ ایستگاه نیمه خشک، ۱۴ ایستگاه خشک و ۶ ایستگاه در شرایط بیابانی قرار دارند. مقایسه دو دوره نشان می‌دهد که اقلیم ۱۳ ایستگاه (معادل ۲۹ درصد از ایستگاه‌ها) به شرایط اقلیمی جدید خشک‌تر تغییر یافته‌اند و مابقی ایستگاه‌ها (۷۱ درصد) اگرچه به طبقه اقلیمی جدیدتر جابجا نشده‌اند اما نمایه اقلیمی آن‌ها متمایل به طبقه اقلیمی خشک‌تر قرار دارند. نتایج شاخص دومارتون در دوره نرمال مرجع نشان داد که ۷ ایستگاه در شرایط اقلیمی فرا خشک، ۱۲ ایستگاه خشک بیابانی، ۱۳ ایستگاه نیمه خشک، ۶ ایستگاه مدیترانه‌ای، یک ایستگاه مرطوب و سه ایستگاه خیلی مرطوب قرار گرفته است. در دوره نرمال اخیر نشان داد که ۱۲ ایستگاه در شرایط فرا خشک، ۸ ایستگاه خشک بیابانی، ۲۰ ایستگاه نیمه خشک، ۲ ایستگاه مرطوب و ۳ ایستگاه خیلی مرطوب قرار دارند. بررسی تغییرات دو دوره نشان می‌دهد که ۱۴ ایستگاه (۳۱ درصد) به شرایط اقلیمی جدید خشک‌تر تغییر یافته‌اند و مابقی ایستگاه‌ها (معادل ۶۹ درصد) گرایش به شرایط اقلیمی خشک‌تر قرار دارند. نتایج آزمون معناداری تغییرات و شبیه سن هر یک از ایستگاه‌های موردمطالعه برای بارش، دما و تبخیر تعرق نشان داد که در بیش از سه‌چهارم ایستگاه‌ها افزایش دما و تبخیر تعرق و در حدود یک‌سوم ایستگاه‌ها کاهش بارش معنادار است. همچنین بیشترین شبیه کاهش بارش سالانه در ایستگاه گرگان به مقدار ۳,۷-۳,۷ م.م، بیشترین شبیه افزایش دما در ایستگاه مشهد با ۷۳,۰ درجه سلسیوس بر سال و بیشترین افزایش تبخیر تعرق در ایستگاه اهواز با ۲۵,۸۹ م.م. بر سال است.

نتایج این پژوهش نشان می‌دهند که اقلیم ایران در شرایط گرمایش جهانی به سرعت در حال تغییر به طبقات اقلیمی خشک‌تر است و در تعداد قابل توجهی از ایستگاه‌ها خشک‌سالی را دیگر نمی‌توان به عنوان یک اختلال موقتی در آن‌ها تلقی کرد بلکه به حالت نرمال و دائمی اقلیم آن‌ها تبدیل شده است. برای بهبود مطالعات در این حوزه پیشنهاد می‌شود مطالعات آینده با استفاده از داده‌های با تراکم مکانی بیشتر مانند داده‌های شبکه‌ای (از قبیل CRU، ERA5-land و...)، با به کار گیری روش‌های مختلف برآورد شاخص خشکی و تبخیر تعرق پتانسیل و همچنین مطالعه دگرگونی‌های رخداده در اقلیم زراعی مناطق مختلف کشور با هدف افزایش امنیت غذایی انجام شود.

حامی مالی

این اثر حامی مالی نداشته است.

سهم نویسندها در پژوهش

نویسندها در تمام مراحل و بخش‌های انجام پژوهش سهم برابر داشتند.

تضاد منافع

نویسنده‌گان اعلام می‌کنند که هیچ تضاد منافعی در رابطه با نویسنده‌گی و یا انتشار این مقاله ندارند.

تقدیر و تشکر

از سازمان هواشناسی کشور برای در اختیار قرار دادن داده‌های ماهانه دما و بارش ایستگاه‌های هواشناسی کشور قدردانی به عمل می‌آید.

منابع

- اکبری ازیرانی، طبیه. (۱۴۰۱). آشکارسازی و تحلیل روند خشک‌سالی حوضه آبخیز جازموریان در ارتباط با شاخص‌های جوی-اقیانوسی. نشریه پژوهش‌های تغییرات آب‌وهوايی، ۳(۱۱)، ۱۶-۱. DOI: 10.30488/CCR.2022.359615.1091
- الله‌پوری‌پور، پویا؛ قربانی، محمدعلی و اسدی، اسماعیل. (۲۰۲۳). ارزیابی اثرات تغییر اقلیم بر طبقه‌بندی اقلیمی ایران. مدل‌سازی و مدیریت آب‌وهوايی.
- بختیاری، بهرام؛ مهدوی، نکیسا و سیاری، نسرین. (۱۴۰۰). تحلیل حساسیت و بررسی تغییرات شاخص خشکی (AI) در چند نمونه اقلیمی ایران. تحقیقات منابع آب ایران، ۱۷(۱)، ۱۵-۱. DOI: 20.1001.1.17352347.1400.17.1.1.2
- خلیلی، علی؛ بذرافشان، جواد و چراگلی‌زاده، مجید. (۲۰۲۲). بررسی تطبیقی نقشه‌های اقلیمی ایران در طبقه‌بندی دمارتن گسترش داده‌شده و کاربست روش برای پهنه‌بندی اقلیم جهان. هواشناسی کشاورزی، ۱۰(۱)، ۳-۱۶. DOI: 10.22125/AGMJ.2022.156309
- رنجبر، فیروز و طباطبایی، حسن. (۲۰۲۲). بررسی روند شاخص خشکی در ایستگاه‌های نوار شمالی ایران طی دوره ۱۹۸۲-۲۰۱۹. پژوهش‌های تغییرات آب‌وهوايی، ۹(۳)، ۲۴-۱۲. DOI: 10.30488/CCR.2022.327870.1070
- طاووسی، تقی؛ شجاع، فائزه و عسگری، الهه. (۱۳۹۸). بازنگری پهنه‌های اقلیمی شمال شرق ایران بر پایه کاربرد تلفیقی تغییر شاخص خشکی. مدیریت بیابان، ۱۳(۷)، ۱۳۴-۱۱۷. DOI: 10.22034/JDMAL.2019.36538
- طاووسی، تقی. (۱۳۹۷). بررسی روند تغییرات بارندگی و شاخص خشکی یونپ در پهنه‌های آب‌وهوايی غرب و شمال غرب ایران. فصلنامه علمی-پژوهشی اطلاعات جغرافیایی «سپهر»، ۲۷(۰۵)، ۸۵-۹۶. DOI: 10.22131/sepehr.2018.31475
- طاووسی، تقی؛ خواجه امیری خالدی، چکاوک و سالاری فنودی، محمدرضا. (۱۳۹۹). بازنگری طبقه‌بندی اقلیمی کشور ایران بر پایه متغیرهای اقلیمی. مدیریت بیابان، ۸(۱۶)، ۳۶-۱۷. DOI: 10.22034/JDMAL.20210243138
- عیشی رضایی، احسان؛ یزدانی بیوکی، رستم و بنایان اول، محمد. (۱۳۹۲). بررسی و تعیین آستانه و طول فصل بارانی برای مکان‌های مختلف شمال شرقی ایران (استان خراسان). آب‌وهوايی (علوم و صنایع کشاورزی)، ۲۷(۶)، ۱۱۸۹-۱۱۷۶. DOI: 10.22067/JSW.V010.20946
- غلام پور شمامی، یوسف؛ محنون حسینی، ناصر؛ بذرافشان، جواد؛ شریف‌زاده، فرزاد و کانونی، همایون. (۲۰۲۰). ارزیابی بارش و تبخیر-تعرق پتانسیل گیاه مرجع در شرایط اقلیم فعلی و تغییر اقلیم آینده تحت پروژه CORDEX در نواحی عمدۀ تولید محصولات دیم استان کردستان. آب‌وهوايی ایران، ۵۰(۱۰)، ۲۵۸۳-۲۵۹۴. DOI: 10.22059/IISWR.2019.285043.668255
- عباسی، فاطمه؛ کوهی، منصوره؛ فلامرزی، یاشار؛ جوانشیری، زهره؛ ملبوسی، شراره و بابائیان، ایمان. (۲۰۱۹). تحلیل روند میانگین دما و بارش سالانه در ایران برای دوره ۱۹۸۸ تا ۲۰۱۷ تا ۲۰۱۷ میلادی. نیوار، ۴۳(۱۰۷)، ۴۹-۳۶. DOI: 10.30467/NIVAR.2019.184059.1128
- فتحی تپه رشت، امین؛ شفیع‌زاده مقدم، حسین و کوچک‌زاده، مهدی. (۲۰۲۲). تحلیل فضایی-زمانی طبقه‌بندی اقلیمی ایران بر اساس روش دومارتون و آزمون من-کنadal در دوره آماری ۱۳۷۴ تا ۱۳۹۸. فصلنامه علوم محیطی، ۴۵(۲۰)، ۱۵۴-۱۳۷. DOI: 10.52547/envs.2021.1105.

References

- Abbasi, F., Kohi, M., Flamarzi, Y., Javanshiri, Z., Malboosi, Sh., & Babaian, Iman. (2019). Analysis of the trend of average temperature and annual precipitation in Iran for the period from 1988 to 2017. *Newar*, 43(107), 36-49. DOI: [10.30467/NIVAR.2019.184059.1128](https://doi.org/10.30467/NIVAR.2019.184059.1128). [In Persian].
- Abolverdi, J., Ferdosifar, G., Khalili, D., Kamgar-Haghghi, A. A., & Abdolahipour Haghghi, M. (2014). Recent trends in regional air temperature and precipitation and links to global climate change in the Maharlo watershed, Southwestern Iran. *Meteorology and Atmospheric Physics*, 126, 177-192. DOI: [10.1007/s00703-014-0341-5](https://doi.org/10.1007/s00703-014-0341-5).
- Akbari Azirani, T., Yahyavi Dizaj, A., & Keykhosravi, G. (2023). The trend analysis of dust phenomenon changes in the western region of Iran during 1979-2018. *Journal of Climate Research*, (53), 147-162. [In Persian].
- Allah Virdipour, P., Ghorbani, M. A. & Asadi, I. (2023). Investigating the effects of climate change on the climatic classification of Iran. *Modeling and management of water and soil*.
- Alizadeh, A. (2014). *Principles of applied hydrology*. Mashhad: Quds Razavi Province. [In Persian].
- Bakhtiari, B; Mahdavi, N., & Sayari, N. (1400). Analysis of sensitivity and changes of aridity index (AI) in some climatic samples of Iran. *Iran Water Resources Research*, 17(1), 1-15. DOI: [10.1001.1.17352347.1400.17.1.1.2](https://doi.org/10.1001.1.17352347.1400.17.1.1.2).
- Alizadeh-Chobari, O., & Najafi, M. S. (2018). Extreme weather events in Iran under a changing climate. *Climate Dynamics*, 50(1-2), 249-260. DOI: [10.1007/s00382-017-3602-4](https://doi.org/10.1007/s00382-017-3602-4).
- Ashraf, B., Yazdani, R., Mousavi-Baygi, M., & Bannayan, M. (2014). Investigation of temporal and spatial climate variability and aridity of Iran. *Theoretical and Applied Climatology*, 118, 35-46. DOI: [10.1007/s00704-013-1040-8](https://doi.org/10.1007/s00704-013-1040-8).
- Aydin, M. (1995, December). Water key ingredient in Turkish farming. In *Forum for Applied Research and Public Policy* (Vol. 10, No. 4).
- Bannayan, M., Sanjani, S., Alizadeh, A., Lotfabadi, S. S., & Mohamadian, A. (2010). Association between climate indices, aridity index, and rainfed crop yield in northeast of Iran. *Field crops research*, 118(2), 105-114. DOI: [10.1016/j.fcr.2010.04.011](https://doi.org/10.1016/j.fcr.2010.04.011). [In Persian].
- Bannayan, M., & Sanjani, S. (2011). Weather conditions associated with irrigated crops in an arid and semi arid environment. *Agricultural and forest meteorology*, 151(12), 1589-1598. DOI: [10.1016/j.agrformet.2011.06.015](https://doi.org/10.1016/j.agrformet.2011.06.015).
- Bakhtiari, B., Mahdavi, N., & Sayari, N. (2021). Variations and sensitivity analysis on Aridity Index (AI) in some climate samples in Iran. *Iran-Water Resources Research*, 17(1), 1-15. DOI: [10.1001.1.17352347.1400.17.1.1.2](https://doi.org/10.1001.1.17352347.1400.17.1.1.2). [In Persian].
- Dastorani, M. T., & Poormohammadi, S. (2016). Mapping of climatic parameters under climate change impacts in Iran. *Hydrological Sciences Journal*, 61(14), 2552-2566. DOI: [10.1080/02626667.2015.1131898](https://doi.org/10.1080/02626667.2015.1131898).
- Ebi, K. L., Vanos, J., Baldwin, J. W., Bell, J. E., Hondula, D. M., Errett, N. A., ... & Berry, P. (2021). Extreme weather and climate change: population health and health system implications. *Annual review of public health*, 42(1), 293-315. DOI: [10.1146/annurev-publhealth-012420-105026](https://doi.org/10.1146/annurev-publhealth-012420-105026).
- Eshe Rezaei, E., Yazdani Beyuki, R., & Banayan Aval, M. (2012). Investigating and determining the threshold and length of the rainy season for different regions of northeastern Iran (Khorasan province). *Water and Soil (Agricultural Sciences and Industries)*, 27(6), 1176-1189. DOI: [10.22067/JSW.V010.20946](https://doi.org/10.22067/JSW.V010.20946). [In Persian].
- Fathi Tapeh Rasht, A., Shafizadeh Moghadam, H., & Kochakzadeh, M. (2022). Spatial-temporal analysis of Iran's climate classification based on the DuMartin method and the Mann-Kendall test in the statistical period from 1374 to 1398. *Environmental Sciences Quarterly*, 3(20), 137-154. DOI: [10.52547/envs.2021.1105](https://doi.org/10.52547/envs.2021.1105). [In Persian].
- Ghami-Shamami, F., Sabziparvar, A. A., & Shinoda, S. (2019). Long-term comparison of the climate extremes variability in different climate types located in coastal and inland regions of Iran. *Theoretical and Applied Climatology*, 136, 875-897. DOI: [10.1007/s00704-018-2523-4](https://doi.org/10.1007/s00704-018-2523-4).
- Gholampour Shamami, Y., Majnoon Hosseini, N., Bazrafshan, J., Sharifzadeh, F., & Kanoni, H. (2020). Evaluation of the potential of precipitation and evaporation and transpiration of the

- reference plant in the current climate conditions and future climate changes under the CORDEX project in the main areas of rainfed production in Kurdistan province. Water and soil of Iran, 50(10), 2583-2594. DOI: [10.22059/IJSWR.2019.285043.668255](https://doi.org/10.22059/IJSWR.2019.285043.668255). [In Persian].
- Pachauri, R. K., Allen, M. R., Barros, V. R., Broome, J., Cramer, W., Christ, R., ... & van Yperle, J. P. (2014). *Climate change 2014: synthesis report. Contribution of Working Groups I, II and III to the fifth assessment report of the Intergovernmental Panel on Climate Change* (p. 151). Ipcc. DOI: [10.1013/epic.45156.d001](https://doi.org/10.1013/epic.45156.d001).
- Kendall, M.G., 1970, Rank Correlation Methods, 2nd Ed., New York: Hafner. occurrence in west of Iran. Environmental Science, No. 2, pp. 375-388.
- Khalili, A., Bazarafshan, J., & Chiraglizadeh, M. (2022). A comparative study of Iran's climate maps in Demartin's developed classification and the application of the method for world climate zoning. *Agricultural Meteorology*, 10(1), 3-16. DOI:[10.22125/AGMJ.2022.156309](https://doi.org/10.22125/AGMJ.2022.156309). [In Persian].
- Mann, H. B. (1945). Nonparametric tests against trend. *Econometrica: Journal of the econometric society*, 245-259. DOI:[10.2307/1907187](https://doi.org/10.2307/1907187).
- Mansouri Daneshvar, M. R., Ebrahimi, M., & Nejadsoleymani, H. (2019). An overview of climate change in Iran: facts and statistics. *Environmental Systems Research*, 8(1), 1-10. DOI:[10.1186/s40068-019-0135-3](https://doi.org/10.1186/s40068-019-0135-3).
- Mohamadyariyan, M., Tavousi, T., & Hamidiyanpour, M. (2019). Zoning of iranian heavy precipitation regime. *Geographical Researches*, 34(2), 183-192. DOI: [10.29252/geores.34.2.183](https://doi.org/10.29252/geores.34.2.183). [In Persian].
- Nazemosadat, M. J., & Cordery, I. (2000). On the relationships between ENSO and autumn rainfall in Iran. *International Journal of Climatology: A Journal of the Royal Meteorological Society*, 20(1), 47-61. DOI:[10.1002/\(SICI\)1097-0088\(200001\)20:1<47::AID-JOC461>3.0.CO;2-P](https://doi.org/10.1002/(SICI)1097-0088(200001)20:1<47::AID-JOC461>3.0.CO;2-P).
- Nazemosadat, M. J., & Cordery, I. (2000). The impact of ENSO on winter rainfall in Iran. In *Hydro 2000: Interactive Hydrology; Proceedings* (pp. 538-543). Barton, ACT: Institution of Engineers, Australia. DOI:[10.3316/informit.295644650377746](https://doi.org/10.3316/informit.295644650377746).
- Rahimi, J., Ebrahimpour, M., & Khalili, A. (2013). Spatial changes of extended De Martonne climatic zones affected by climate change in Iran. *Theoretical and applied climatology*, 112, 409-418. DOI:[10.1007/s00704-012-0741-8](https://doi.org/10.1007/s00704-012-0741-8).
- Rahimi, J., Laux, P., & Khalili, A. (2020). Assessment of climate change over Iran: CMIP5 results and their presentation in terms of Köppen–Geiger climate zones. *Theoretical and Applied Climatology*, 141, 183-199. DOI:[10.1007/s00704-020-03190-8](https://doi.org/10.1007/s00704-020-03190-8).
- Rahimi, J., Malekian, A. & Khalili, A. 2019. Climate change impacts in Iran: assessing our current knowledge. *Theor Appl Climatol* 135, 545–564. DOI:[10.1007/s00704-018-2395](https://doi.org/10.1007/s00704-018-2395).
- Ranjber, F., & Tabatabai, H. (2022). Investigating the trend of drought index in the stations of the northern strip of Iran during the period of 1361 to 1398. *Climate Change Research*, 9(3), 12-24. DOI: [10.30488/CCR.2022.327870.1070](https://doi.org/10.30488/CCR.2022.327870.1070). [In Persian].
- Raziei, T. (2017). Koppen-Geiger climate classification of Iran and investigation of its changes During 20th Century.
- Sen, P. K. (1968). *Asymptotically efficient tests by the method of n rankings*. J. Roy. Statist. Soc. Ser. B. 30.
- Tavosi, T., Khajeh Amiri Khalidi, Ch., & Salari Fanodi, M. (2021). Revision of the climatic classification of Iran based on climatic variables. *Desert Management*, 8(16), 17-36. DOI: [10.22034/JDMAL.20210243138](https://doi.org/10.22034/JDMAL.20210243138). [In Persian].
- Tavousi, T. Mahmoudi, P. and Sargolzai Moghaddam, F. (2010). Study of Spatial Spreading Trend of Arid and Semi-Arid Climates in Iran. *Range and Desert Research*, 17 (1), 94-105. [In Persian].
- Tavousi, T., Shoja, F. & Asgari, E. (2019). Amendment of Climate Zones of the Northeastern Iran Based On a Combination of Changes in Aridity Index. *Desert Management*, 7 (13), 117-134. [In Persian].
- Theil, H. (1950). A rank-invariant method of linear and polynomial regression analysis. *Indagationes mathematicae*, 12 (85), 173.

Thornthwaite, C. W. (1948). An Approach toward a Rational Classification of Climate. *Geographical Review*, 38(1), 55-94.